

FIG. 1 A

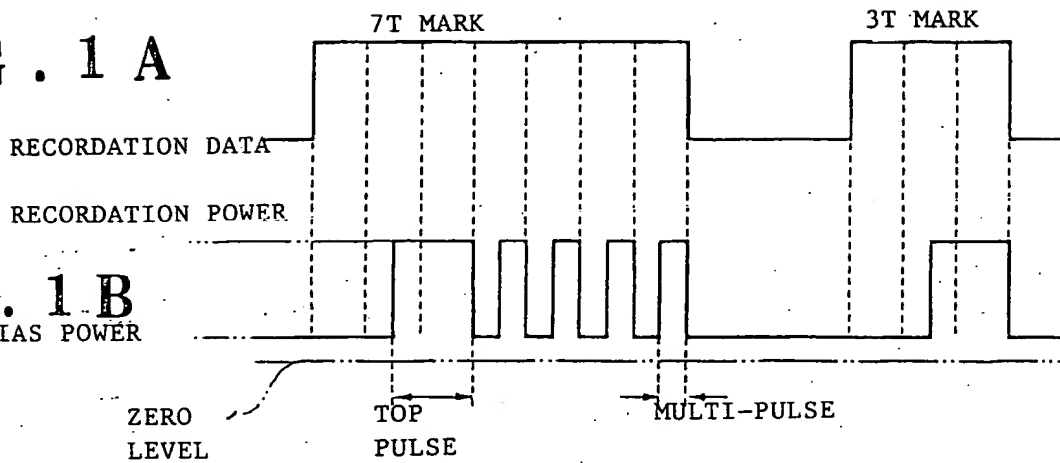


FIG. 1 B

BIAS POWER

FIG. 2 A

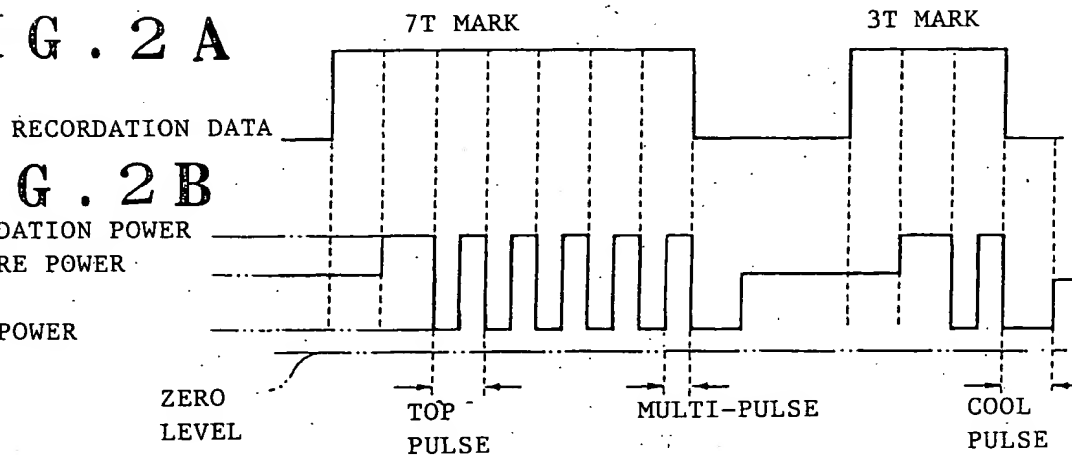


FIG. 3A

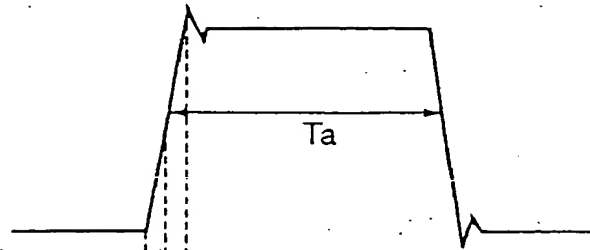


FIG. 3B

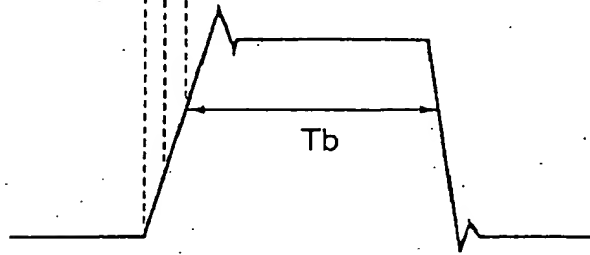


FIG. 4A

WRITE PULSE

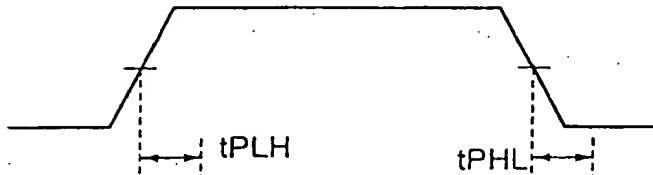


FIG. 4B

IN PHASE OUTPUT

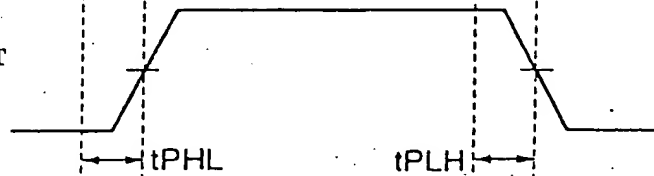
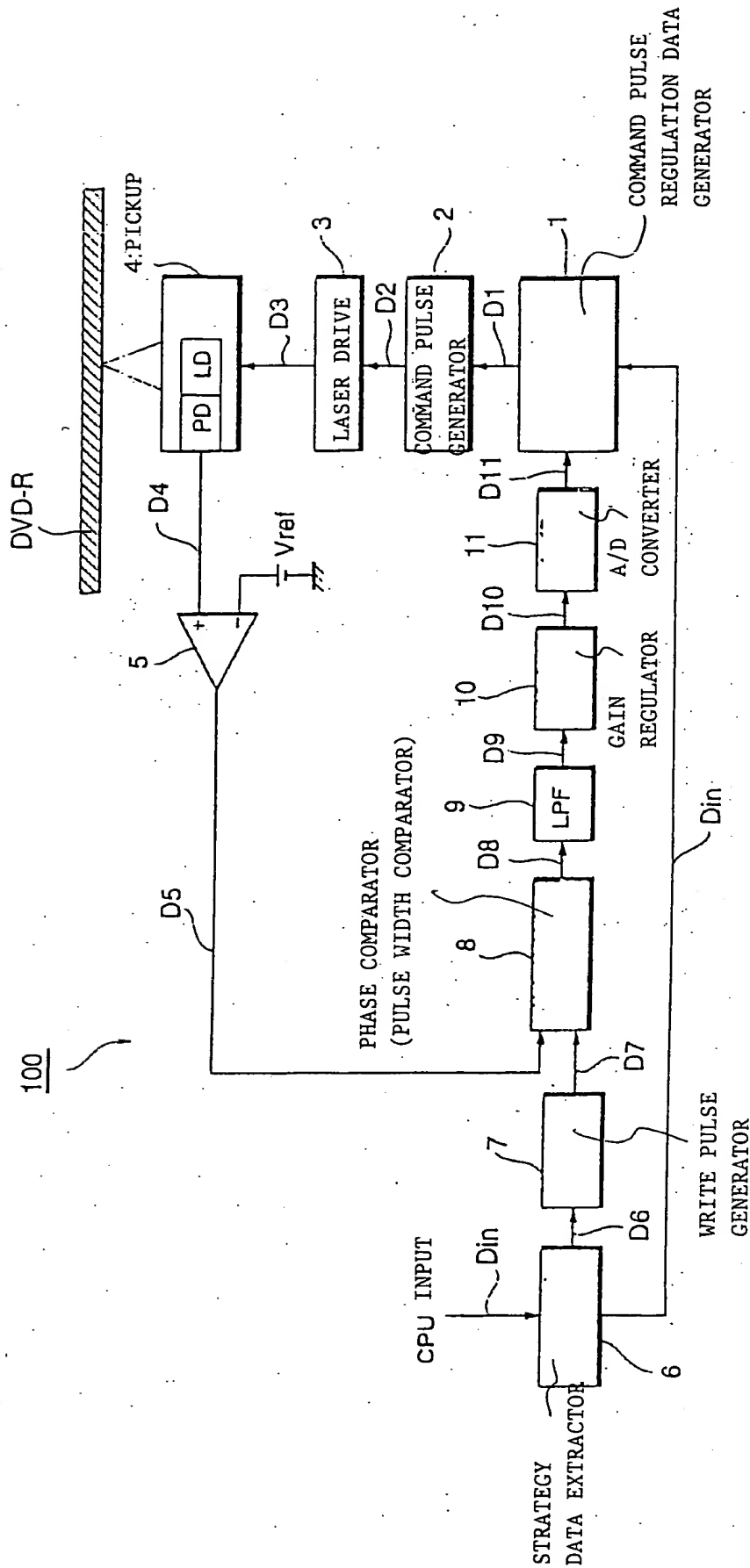


FIG. 4C

INVERTED OUTPUT



FIG. 5



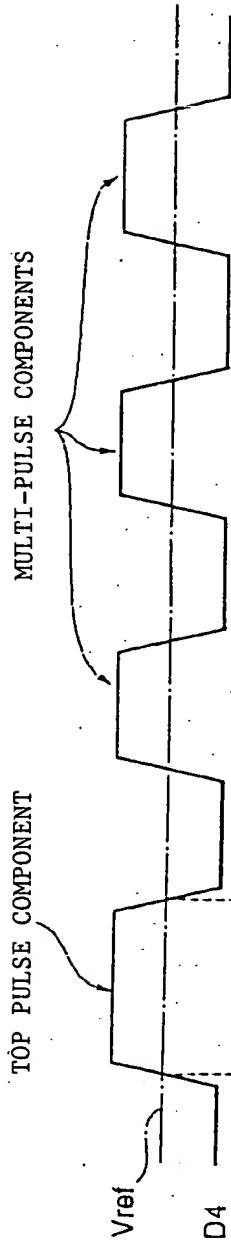


FIG. 6A

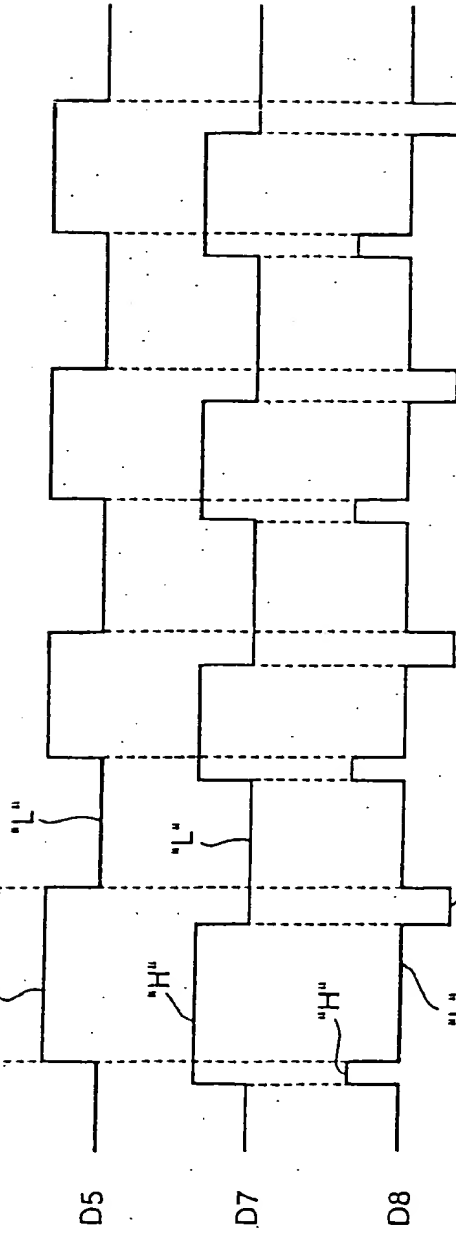


FIG. 6B

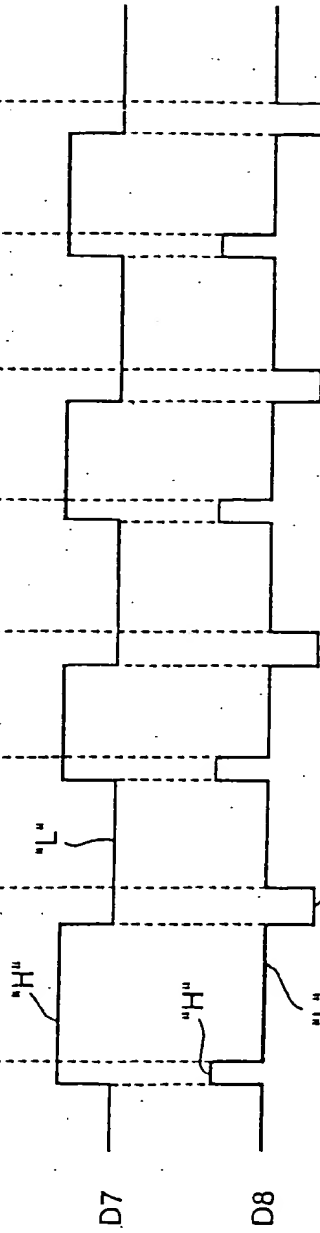


FIG. 6C

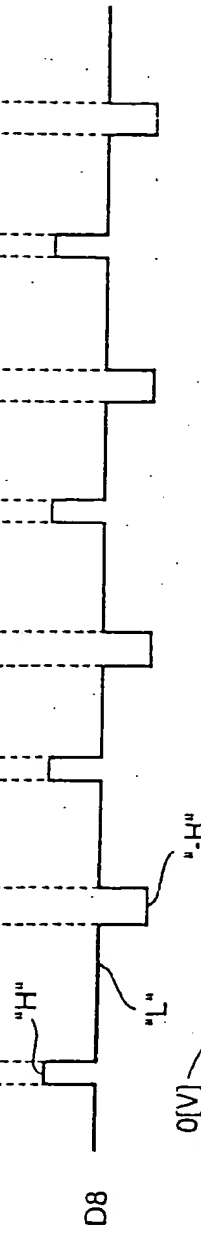


FIG. 6D

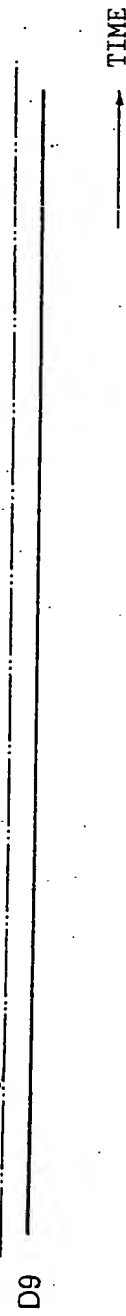


FIG. 6E

TOP PULSE

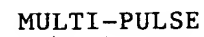
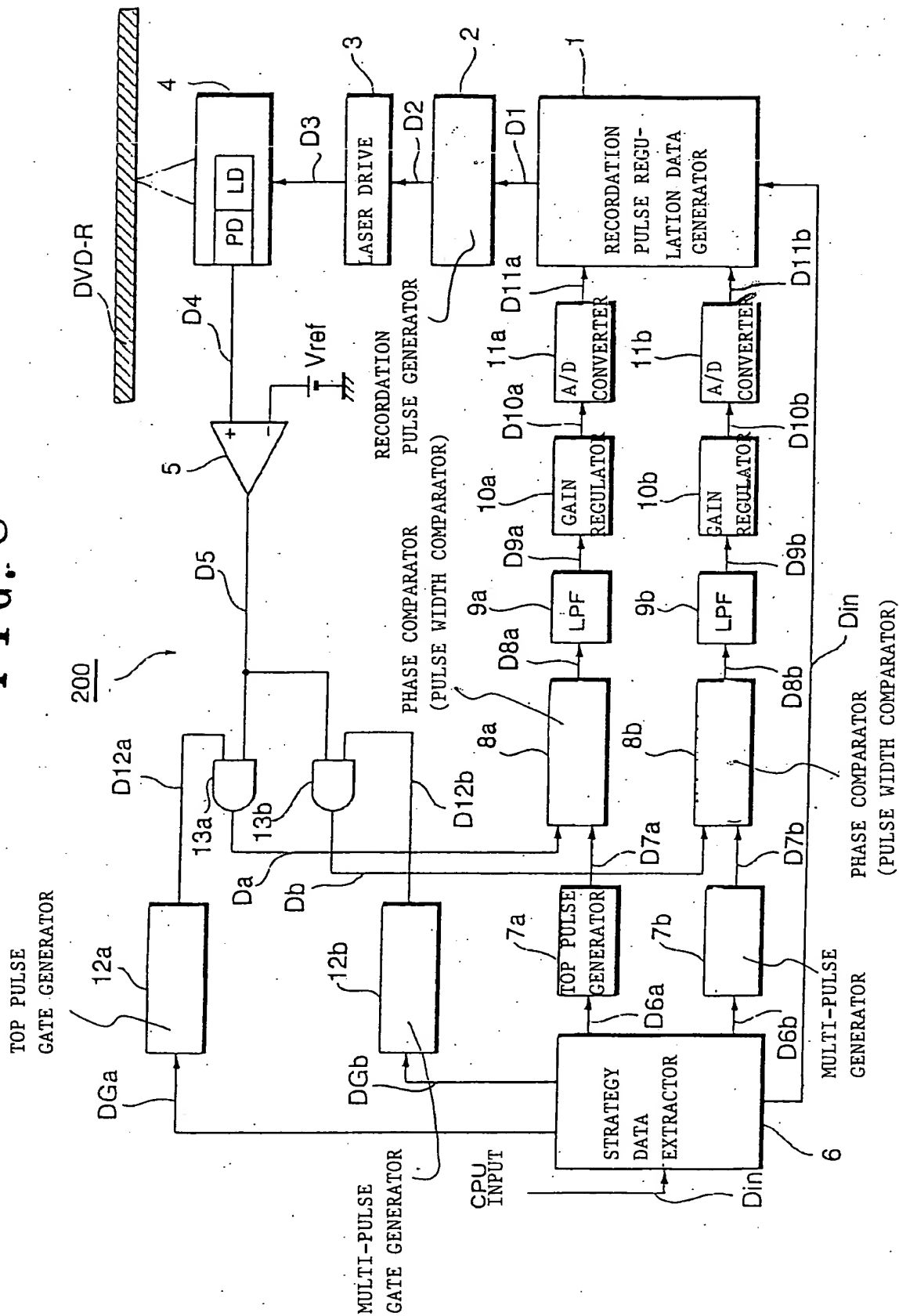

$$\begin{array}{ccccccc} \Gamma_0^{(1)} & \Gamma_0^{(2)} & \Gamma_0^{(3)} & \Gamma_0^{(4)} & \Gamma_0^{(5)} & \Gamma_0^{(6)} & \Gamma_0^{(7)} \\ \text{---} & \text{---} & \text{---} & \text{---} & \text{---} & \text{---} & \text{---} \\ \Gamma_1^{(1)} & \Gamma_1^{(2)} & \Gamma_1^{(3)} & \Gamma_1^{(4)} & \Gamma_1^{(5)} & \Gamma_1^{(6)} & \Gamma_1^{(7)} \\ \vdots & \vdots & \vdots & \vdots & \vdots & \vdots & \vdots \\ \Gamma_{n-1}^{(1)} & \Gamma_{n-1}^{(2)} & \Gamma_{n-1}^{(3)} & \Gamma_{n-1}^{(4)} & \Gamma_{n-1}^{(5)} & \Gamma_{n-1}^{(6)} & \Gamma_{n-1}^{(7)} \end{array}$$

FIG. 8



TOP PULSE  
COMPONENTMULTI-PULSE  
COMPONENTS

FIG. 9A

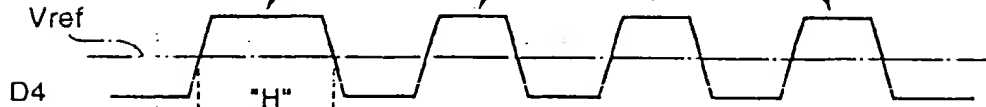


FIG. 9B



FIG. 9C

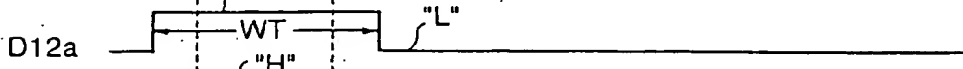


FIG. 9D

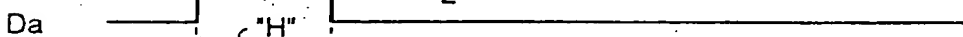


FIG. 9E

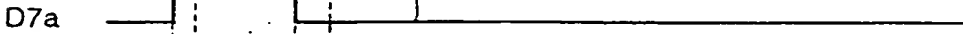


FIG. 9F

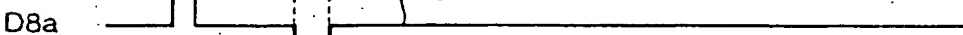


FIG. 9G

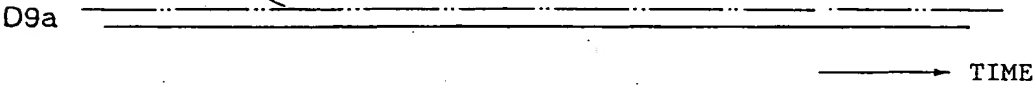


FIG. 10A

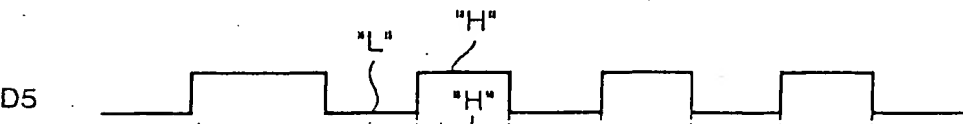


FIG. 10B

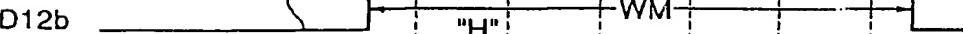


FIG. 10C

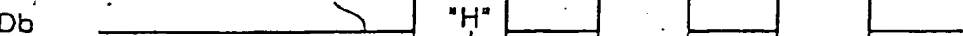


FIG. 10D



FIG. 10E

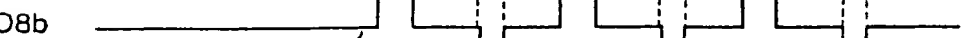


FIG. 10F

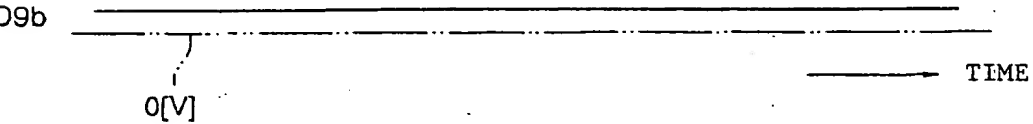
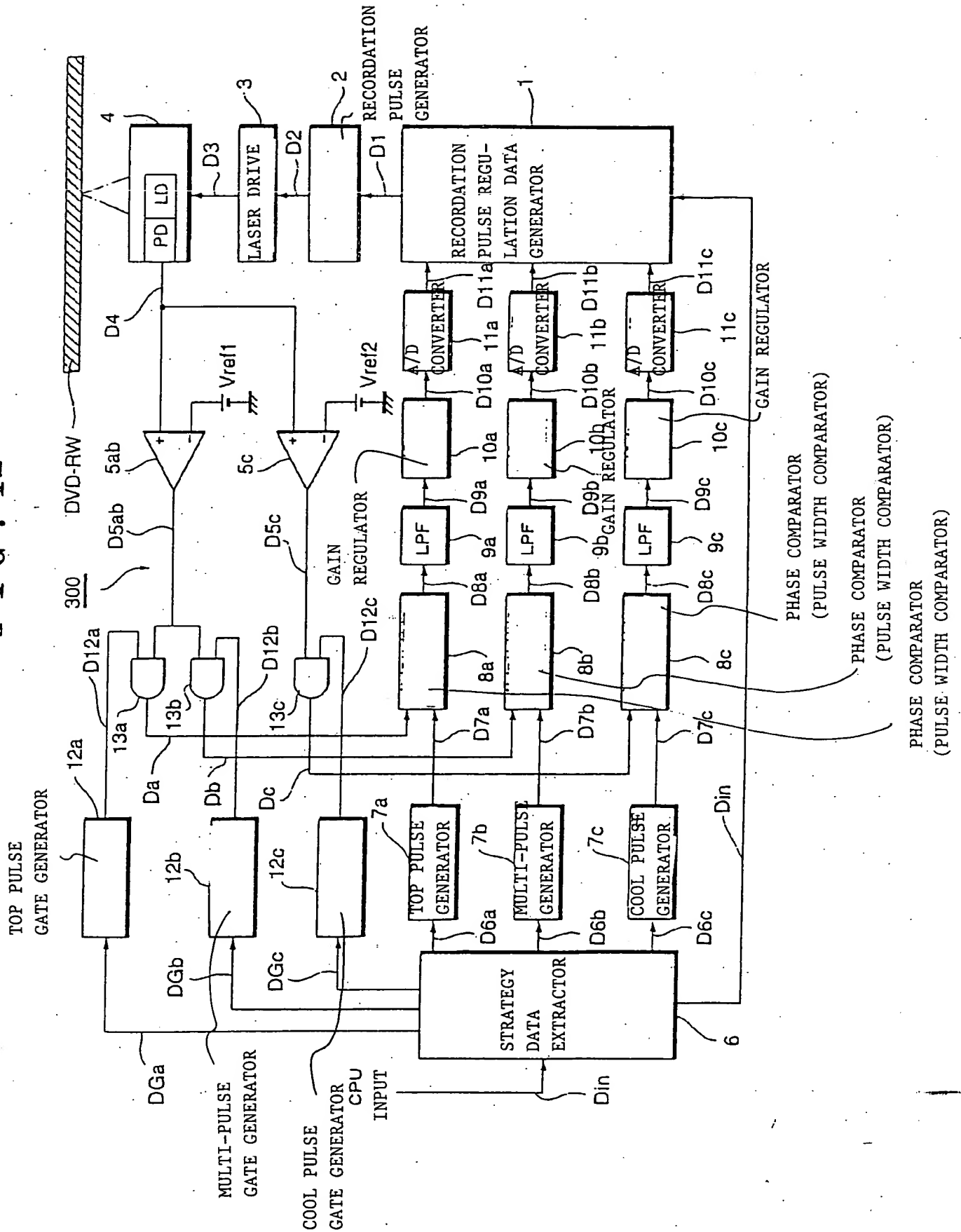


FIG. 11





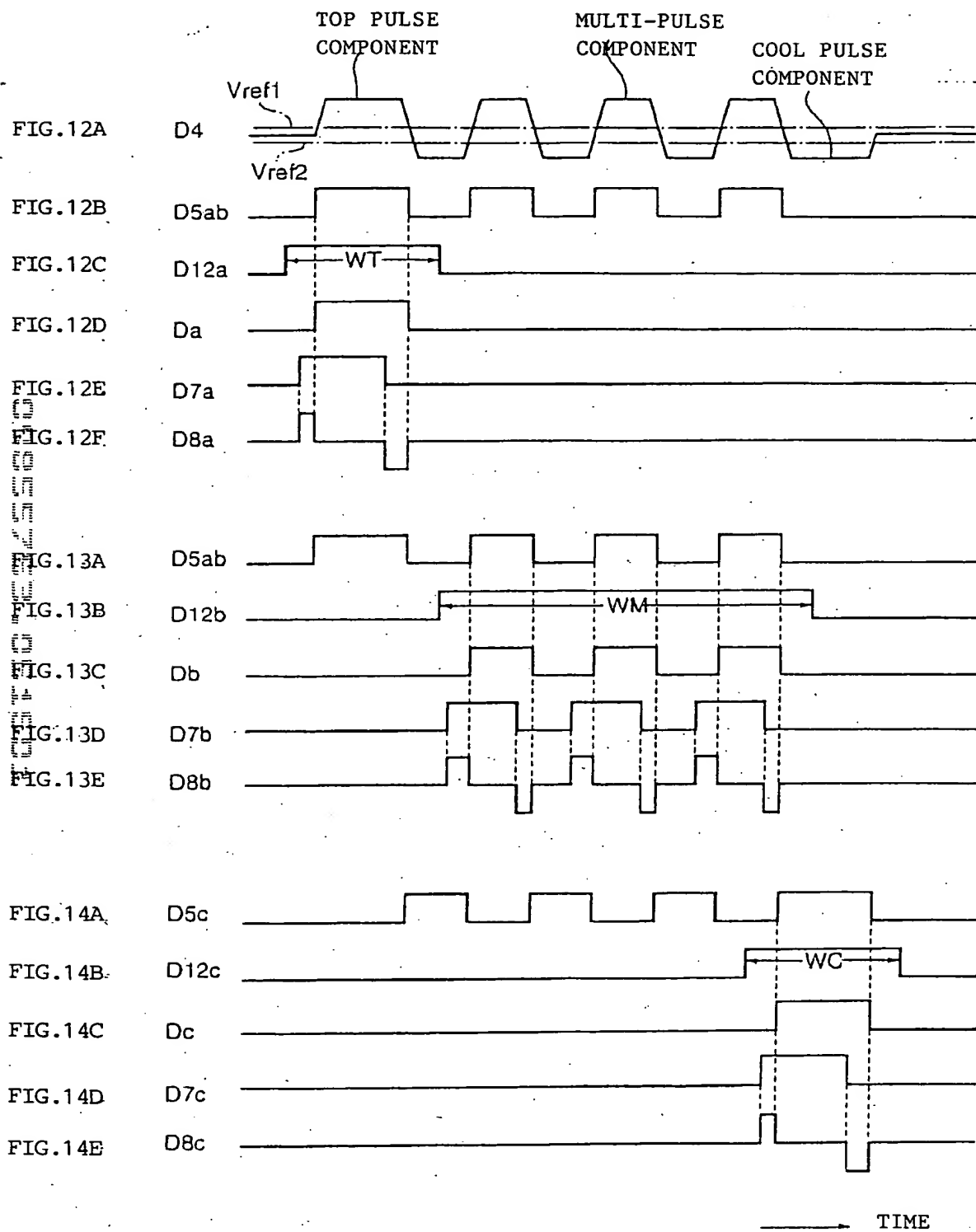


FIG. 15A

FIG. 15B

